

# Bulletin mensuel

Institut de physique du globe de Paris  
Observatoire volcanologique et sismologique de Martinique

ISSN 2105-2301

Mars 2026

## A) Activité volcanique de la Montagne Pelée

La Montagne Pelée est un volcan actif de type explosif ayant connu de nombreuses éruptions magmatiques et phréatiques par le passé. Depuis la fin de la dernière éruption magmatique en 1932, qui a été associée à la mise en place d'un dôme de lave, son activité a décliné de manière significative jusqu'à l'arrêt de l'activité fumerolienne depuis 1970 et une activité sismique globalement très faible.

Depuis avril 2019, l'activité sismique d'origine volcanique est passée au-dessus de son niveau de base établi à partir des observations instrumentales continues des années précédentes. Cette nouvelle activité se caractérise à la fois par de nombreux séismes volcano-tectoniques de faible énergie, pour la plupart superficiels, par l'apparition de signaux sismiques de type trémor et longue-période superficiels, témoignant de mouvements de fluides en surpression dans le système hydrothermal, et par quelques séismes hybrides et longue-période profonds (localisés entre 15 et 40 km de profondeur dans les environs de l'édifice volcanique) pouvant indiquer des circulations de fluides magmatiques en profondeur. Les zones de végétation dégradée sur le flanc sud-ouest de la Montagne Pelée observées depuis 2019, témoignent d'un dégazage diffus de CO<sub>2</sub> par le sol. Une zone de dégazage en mer (présence de bulles de CO<sub>2</sub> à faible température) au nord de Saint-Pierre est surveillée en partenariat avec le Parc Naturel Marin de Martinique afin de suivre l'évolution de ce phénomène en relation éventuelle avec l'activité du volcan. Principalement entre 2021 et 2023, les déformations de l'édifice mesurées par le réseau de capteurs GNSS ont indiqué un faible gonflement pouvant être interprété par une source superficielle de légère pressurisation localisée sous la partie sommitale de la Montagne Pelée. Cette source pourrait être engendrée par la remontée de volumes limités de fluides hydrothermaux et/ou magmatiques (gaz, eaux hydrothermales) dans l'édifice volcanique depuis les profondeurs du système magmatique. L'ensemble de ces observations reflète une réactivation du système volcanique qui est toujours en cours en mars 2026, bien que présentant des fluctuations dans les observations au fil des mois.

Au mois de mars 2026, l'activité sismique d'origine volcanique a baissé par rapport au mois précédent. L'énergie sismique libérée par l'ensemble des séismes d'origine volcanique est faible et aucun séisme d'origine volcanique n'a été ressenti par la population. La sismicité volcano-tectonique au cours des derniers mois reste néanmoins supérieure au niveau de base. Les mesures de déformations récentes continuent à montrer une inflation d'amplitude limitée au niveau de la zone sommitale. La température et l'acidité (pH) des sources thermales de l'édifice ne montrent aucune variation significative. Rappelons que lors des phases de réactivation volcanique, des périodes de plus forte activité, sismique notamment, alternent souvent avec des phases d'activité plus réduite. La probabilité d'une activité éruptive à court terme reste faible. Cependant, compte tenu de l'ensemble des observations collectées depuis fin 2018 et de leur nature, et sur la base des observations de l'OVSM-IPGP enregistrées au cours du mois de mars 2026 et résumées dans ce bulletin, nous ne pouvons exclure une évolution de la situation à moyen terme (semaines, mois, années - voir tableau en annexe). En accord avec les dispositions prévues par les autorités, le niveau d'alerte est actuellement (voir tableau en annexe) :

**JAUNE = VIGILANCE**



## Sismicité volcanique

Au cours du mois de mars 2026, l'OVSM-IPGP a détecté **21** séismes d'origine volcanique dont le détail est donné dans le tableau 1. Aucun de ces séismes n'a été signalé ressenti par la population.

Type de séisme d'origine volcanique	Octobre 2025	Novembre 2025	Décembre 2025	Janvier 2026	Février 2026	Mars 2026
Volcano-tectonique (VT) + VT emboîtés	4657	428	257	250	71	19
Volcano-tectonique distal	0	0	0	0	0	0
Longue-période (LP) + LP profond (> 10 km)	56	9	2	3	4	3
Hybride + hybride profond (> 10 km)	117	28	6	4	0	0
Trémor	0	0	0	0	0	0
<b>Total</b>	<b>4830</b>	<b>465</b>	<b>265</b>	<b>257</b>	<b>75</b>	<b>21</b>

Tableau 1 – Nombre et types de séismes d'origine volcanique détectés par l'OVSM-IPGP au cours des 6 derniers mois.

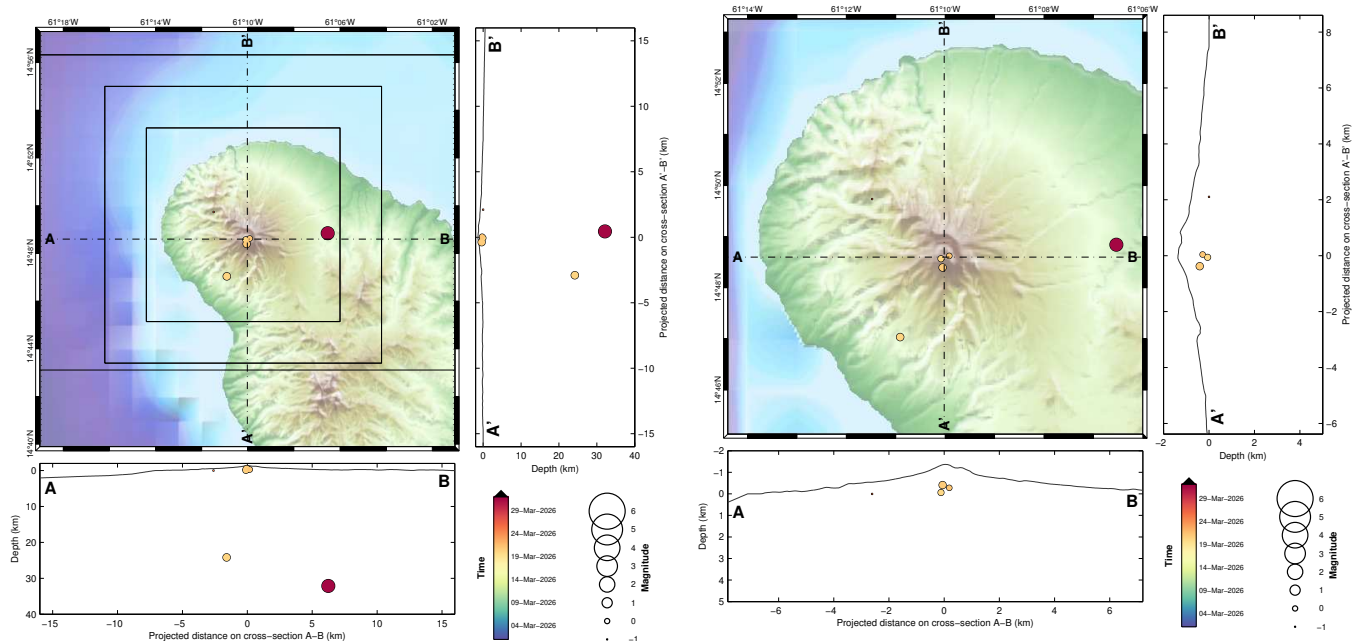


Figure 1 – Carte de localisation manuelle de la sismicité d'origine volcanique du mois de mars 2026, et coupes est-ouest et nord-sud indiquant la localisation en profondeur des hypocentres (source WebObs/OVSM).

Figure 2 – Sismicité d'origine volcanique du mois de mars 2026 ayant pu être localisée au niveau de la partie superficielle de la Montagne Pelée, et coupes est-ouest et nord-sud indiquant la localisation en profondeur des hypocentres (source WebObs/OVSM).

## Sismicité volcanique profonde

En mars 2026, l'OVSM-IPGP a détecté **2** séismes profonds de type **longue-période** dans l'environnement de la Montagne Pelée. Un événement est qualifié de profond s'il est localisé à une profondeur supérieure à 10 km ou si, dans le cas où il ne peut être localisé, son signal présente les mêmes caractéristiques que celui des événements profonds localisés.

Comparativement aux séismes volcano-tectoniques, les événements sismiques de type longue-période se caractérisent par une coda plus longue et enrichie en basses fréquences. Ils sont généralement interprétés comme générés par des fluctuations de la pression dans les fluides magmatiques (magma, fluides supercritiques) qui circulent au sein du système magmatique profond.



Ces 2 séismes profonds de type longue-période ont été localisés (figure 1). Ils sont situés au sud-ouest et à l'est de la Montagne Pelée à des profondeurs de, respectivement, 24 km et 32 km. Ils sont globalement localisés dans les mêmes zones que les séismes profonds enregistrés depuis avril 2025. Leurs magnitudes sont, respectivement,  $M_{lv}=0,4$  et  $M_{lv}=1,50$ .

Ces événements s'inscrivent dans une séquence de séismes profonds de type hybride et longue-période dans l'environnement de la Montagne Pelée qui a débuté graduellement depuis le mois de mars 2025 et qui a présenté un pic d'activité marqué, en nombre et en énergie libérée, entre le 30 avril et le 9 mai 2025 (voir le bulletin mensuel de mai 2025 de l'OVSM-IPGP). Depuis, le nombre de ces événements a diminué mais leur taux d'occurrence reste supérieur à ce qui était observé avant 2025 où ces événements étaient plus rares (figure 3A).

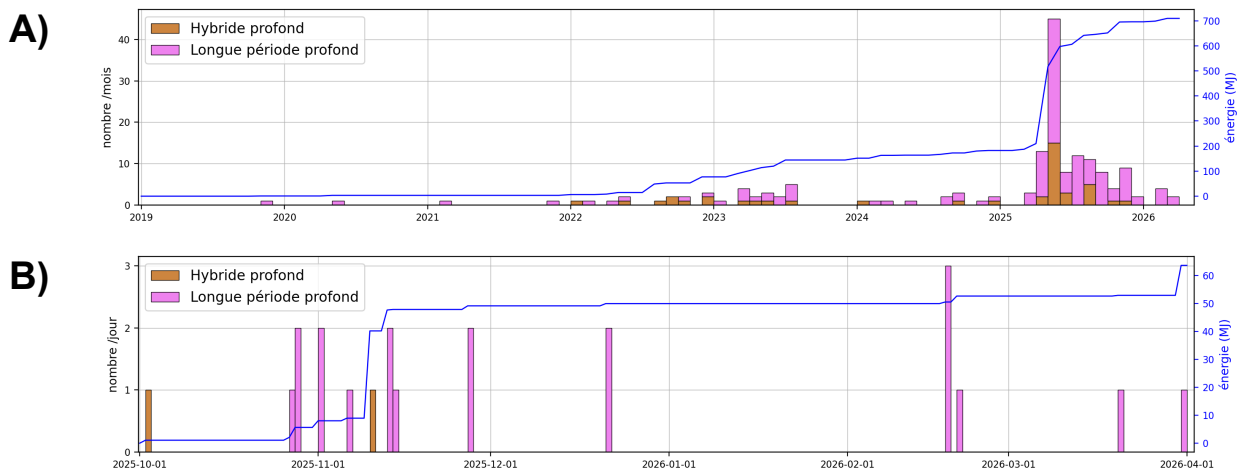


Figure 3 – Evolution du nombre de séismes profonds de type hybride (marron) et longue-période (fushia) détectés par l'OVSM-IPGP dans l'environnement de la Montagne Pelée : A) Nombre par mois du 1<sup>er</sup> janvier 2019 au 31 mars 2026. B) Nombre par jour durant les 6 derniers mois (du 1<sup>er</sup> octobre 2025 au 31 mars 2026). Les courbes bleues indiquent l'évolution de l'énergie cumulée déduite de la magnitude  $M_{lv}$  des événements localisés en sommant l'énergie des séismes profonds de type hybride et longue-période.

## Sismicité volcanique superficielle et intermédiaire

### Sismicité de type volcano-tectonique (VT)

19 séismes volcano-tectoniques (VT) se sont produits au cours du mois de mars 2026. Ils se sont tous produits après le 19 mars et principalement sous la forme d'un petit essaim le 21 mars. Ce nombre est en baisse par rapport au mois précédent et bien inférieur à ce qui avait été observé durant les mois de septembre et octobre 2025.

La figure 4A montre l'évolution du nombre de séismes de type VT (incluant les VT emboîtés) par mois depuis janvier 2019, et la figure 4B est un zoom sur les 6 derniers mois, exprimé en nombre de séismes VT par jour.

L'analyse rétrospective de l'activité sismique depuis 2012, réalisée en 2023, avait permis d'établir une référence du taux de sismicité VT en période calme, définie comme la période entre le 1<sup>er</sup> janvier 2015 et le 1<sup>er</sup> avril 2019. Durant cette période, le taux moyen de séismes de type VT était de 251 par an ou 19 par mois (de 28 jours).

**Le nombre de séismes VT enregistrés sur les 6 derniers mois reste significativement au-dessus du niveau de référence.**

Parmi les séismes VT détectés au mois de mars 2026, 3 ont pu être localisés manuellement. Ils sont situés dans un rayon de 1 km par rapport au sommet du volcan et dans une gamme de profondeurs comprises entre -0,4 km et -0,1 km par rapport au niveau de la mer (figure 2). Ces séismes sont localisés dans des zones bien connues et sismiquement actives depuis plusieurs dizaines d'années au niveau du système hydrothermal la Montagne Pelée. Ils sont tous de faible énergie avec des magnitudes (magnitude de durée  $M_d$  ou magnitude locale  $M_{lv}$ ) comprises entre -0,01 et 0,35.

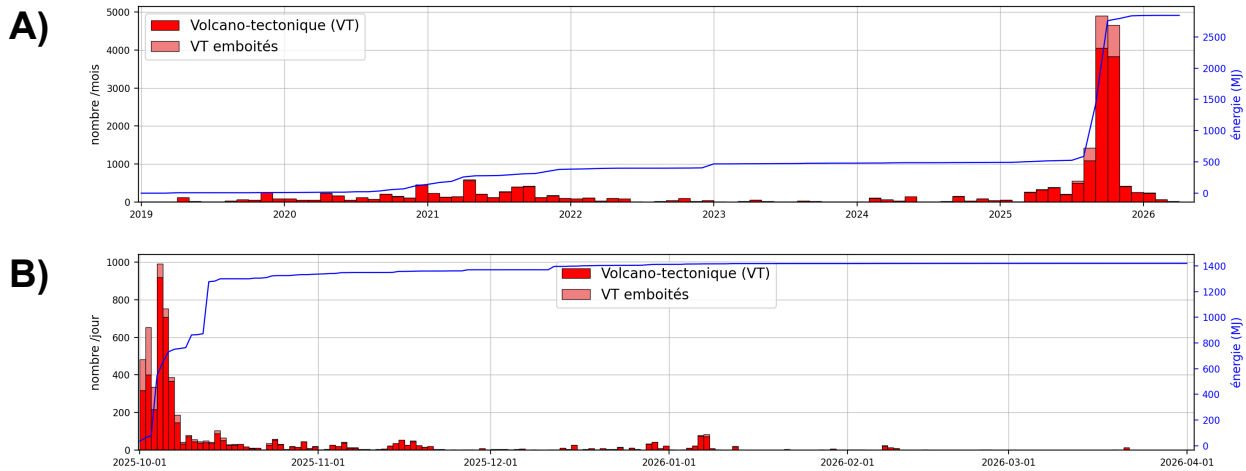


Figure 4 – Evolution du nombre d'événements de type volcano-tectonique (rouge) et volcano-tectonique emboîtés (rose) détectés par l'OVSM-IPGP dans l'environnement de la Montagne Pelée : A) Nombre par mois du 1<sup>er</sup> janvier 2019 au 31 mars 2026. B) Nombre par jour durant les 6 derniers mois (du 1<sup>er</sup> octobre 2025 au 31 mars 2026). Les courbes bleues indiquent l'évolution de l'énergie cumulée déduite de la magnitude (Md ou Mlv) des événements localisés sur la période considérée.

### Sismicité de type hybride et longue-période

En mars 2026, l'OVSM-IPGP a détecté 1 séisme superficiel de type **longue-période** dans l'environnement de la Montagne Pelée mais qui n'a pas pu être localisé avec précision. Les séismes superficiels de type longue-période ou hybride sont généralement interprétés comme générés par des fluctuations de la pression de fluides (gaz, fluides hydrothermaux) qui circulent au sein de l'édifice volcanique.

La figure 5A montre l'évolution du nombre de séismes superficiels de type longue-période et hybride par mois depuis janvier 2019, et la figure 5B est un zoom sur les 6 derniers mois, exprimé en nombre de séismes par jour.

Des séismes hybrides superficiels avaient été observés à partir de décembre 2020 sous les dômes de la Montagne Pelée mais en faible nombre. Ils étaient ré-apparus en août 2025 et leur nombre avait ensuite significativement augmenté en septembre et octobre 2025.

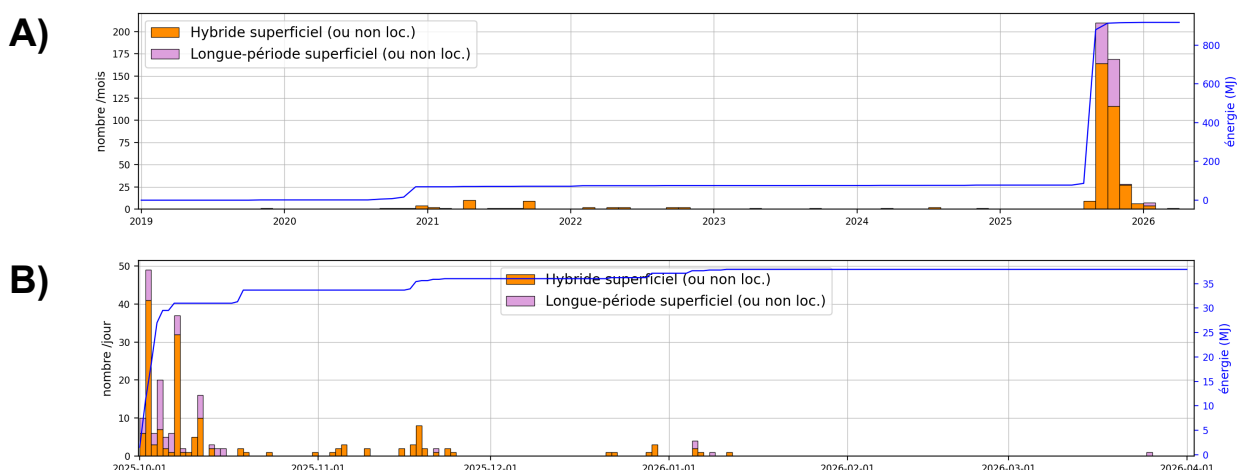


Figure 5 – Evolution du nombre de séismes superficiels de type hybride (orange) et longue-période (violet clair) détectés par l'OVSM-IPGP dans l'environnement de la Montagne Pelée : A) Nombre par mois du 1<sup>er</sup> janvier 2019 au 31 mars 2026. B) Nombre par jour durant les 6 derniers mois (du 1<sup>er</sup> octobre 2025 au 31 mars 2026). Les courbes bleues indiquent l'évolution de l'énergie cumulée déduite de la magnitude Mlv des événements localisés en sommant l'énergie des séismes superficiels de type hybride et longue-période.



L'activité sismique superficielle de type VT, hybride et longue-période observée depuis avril 2019, et qui s'était intensifiée durant le second semestre 2025, pourrait être le signe de l'augmentation de l'activité du système hydrothermal, qui se traduit par l'interaction entre l'eau météorique superficielle, les roches, et la présence de fluides (gaz, eaux hydrothermales) chauffés et en surpression dans les zones profondes du système magmatique (plus de 10 km) et qui remontent vers les zones plus superficielles du système hydrothermal.

## Déformations du sol

L'analyse des mesures du réseau de capteurs GNSS de l'OVSM-IPGP intégrées sur deux ans indique un léger signal de déformation avec des vitesses de déplacement horizontal comprises entre  $6,0 \pm 6$  mm par an (station SCH2) et  $6,5 \pm 3$  mm par an (station LAM0) sur les stations proches du sommet (voir figure 6). Ces déformations sont faibles mais les signaux observés, notamment aux stations LAM0, CHN0 et MPL0, ainsi que les données de la campagne de mesures de répétition GNSS réalisée en janvier 2026 (voir le bulletin mensuel de janvier 2026) montre une reprise d'une inflation ou extension du sommet de l'édifice comme cela avait été le cas entre mi 2021 et fin 2022.

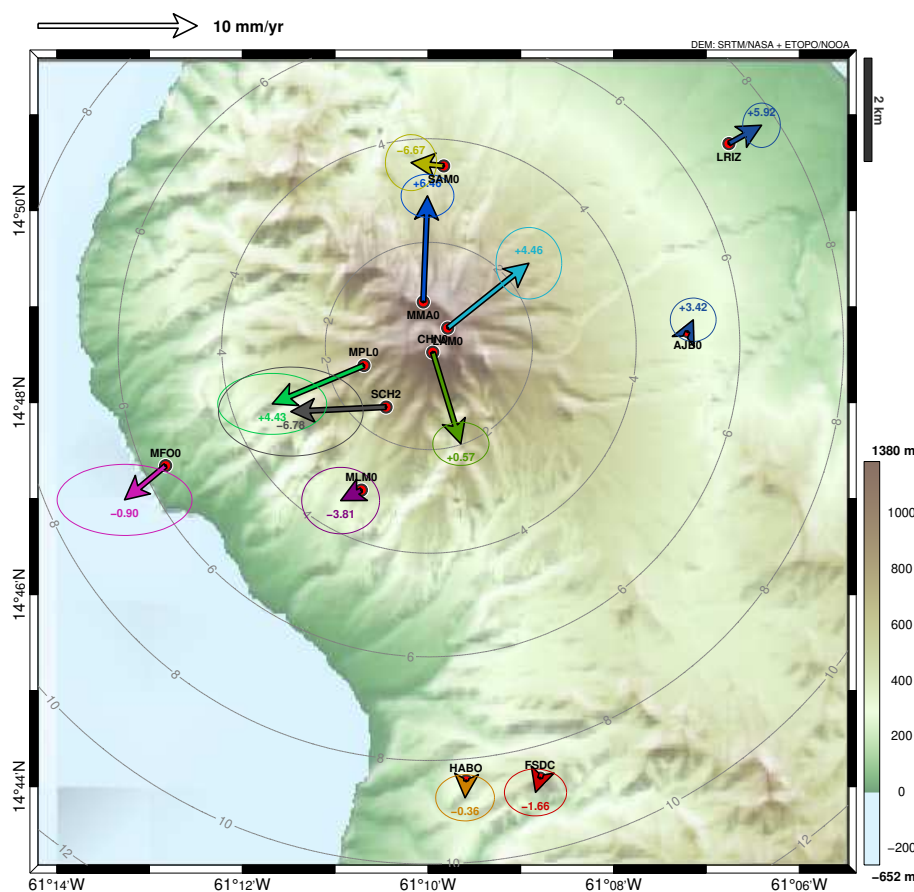


Figure 6 – Vecteurs des vitesses moyennes de déformations horizontales mesurées entre le 1<sup>er</sup> avril 2024 et le 31 mars 2026 (deux ans) sur la Montagne Pelée (échelle donnée par la flèche en haut à gauche en mm par an). Chaque vecteur est associé à une ellipse d'erreur ainsi qu'à une indication de la vitesse verticale (non significative). Ces vitesses sont calculées de façon relative par rapport à un référentiel local et les ellipses d'erreur sont évaluées par rapport à l'écart-type des données relatifs à une tendance linéaire. Les cercles concentriques gris indiquent les distances en km depuis le sommet (calculs préliminaires. Source WebObs / OVSM).



La figure 7 montre l'évolution temporelle, de 2019 à mars 2026 inclus, des lignes de base, c'est-à-dire les variations de distance linéaire entre plusieurs couples de stations GNSS, qui traduisent une extension (pentes positives) ou une compression (pentes négatives) du massif volcanique. Cette technique dite différentielle permet de s'affranchir en grande partie des signaux transitoires régionaux de type atmosphérique, hydrologique ou tectonique. Les lignes proches du sommet (MPL0-LAM0, CHN0-MPL0 ; LAM0-CHN0, LAM0-MLM0) montrent qu'une première phase d'extension s'était produite approximativement entre mi 2021 et fin 2022. Après une période de stabilisation, cette extension a repris à un taux un peu plus élevé à partir de septembre 2025 approximativement et s'est poursuivie en mars 2026.

En termes de déformation — variation relative de distance que l'on peut relier à la capacité de la roche à se déformer élastiquement —, c'est sur la ligne de base la plus courte LAM0-CHN0 que l'on enregistre toujours la valeur la plus élevée, avec un allongement total de +26 mm depuis juin 2021 sur une ligne de base de seulement 550 m, soit une déformation en extension de +0,0047%. Sur les sept derniers mois (septembre 2025 à mars 2026) cette valeur de déformation pour la ligne LAM-CHN0 est en nette augmentation.

Ces signaux de déformation enregistrés sur les derniers mois sont désormais bien expliqués par une source de pressurisation superficielle située à environ 1 km de profondeur sous le sommet de la Montagne Pelée et associée à une variation de volume équivalente estimée, sur cette période, à environ 170 000 m<sup>3</sup> (modèle de source isotrope de type Mogi). Cette pressurisation pourrait être engendrée par la remontée de volumes limités de fluides hydrothermaux et/ou magmatiques (gaz, eaux hydrothermales) dans l'édifice volcanique.

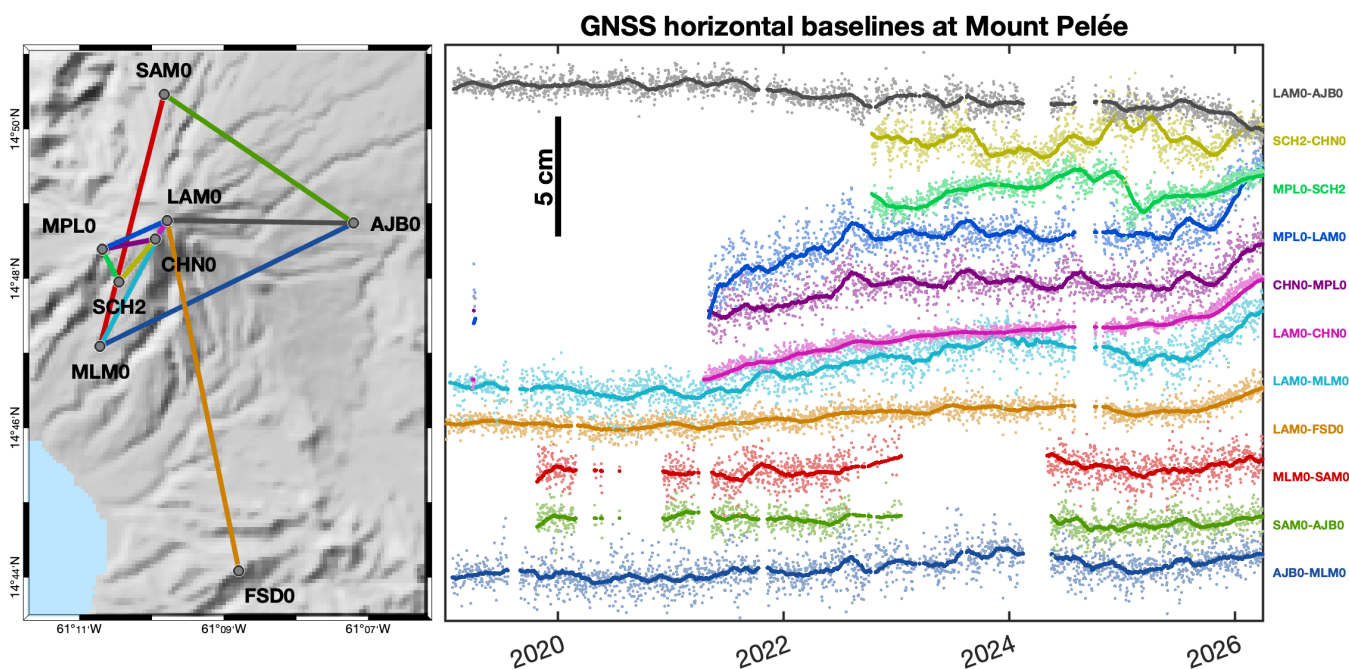


Figure 7 – Variation des distances horizontales (lignes de base) sur la Montagne Pelée, calculées à partir des données journalières du réseau GNSS permanent. (Gauche) Position des lignes de base entre chaque couple de station (FSD0 correspond à la station située à l'ancien observatoire du Morne des Cadets). (Droite) Évolution des distances horizontales entre janvier 2019 et mars 2026 inclus : données journalières brutes (points) et filtrées par moyenne glissante sur 60 jours (lignes pleines). (Calculs préliminaires. Source F. Beauducel / IPGP).



## Géochimie des sources thermales

Les températures, pH et conductivités des eaux des forages de Puits Chaud (à 8,5 m de profondeur), de la carrière de la Rivière Blanche (à 30 m de profondeur), et de la carrière de Fond Canonville (à 60 m de profondeur) sont restés relativement stables au cours du mois de mars 2026.

Les mesures de température (figure 8 pour Puits Chaud) suggèrent une tendance générale à la baisse de la température des eaux thermales souterraines de la coulée de la Rivière Blanche depuis le milieu des années 1960 jusqu'à 2009, suivie d'une tendance à la stabilisation de la température depuis 2017 jusqu'à la date de la dernière mesure manuelle (31 mars 2026). Ces mesures manuelles sont cohérentes avec les données acquises automatiquement et en continu depuis le 1<sup>er</sup> janvier 2007.

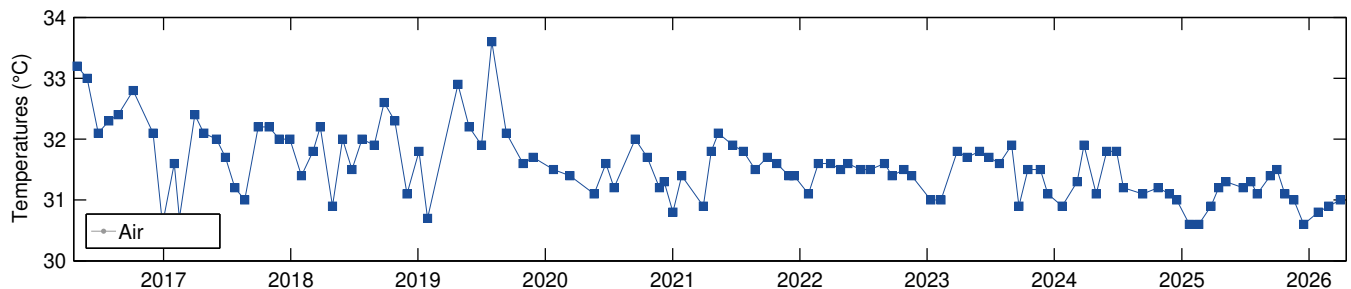


Figure 8 – Évolution de la température du forage Puits Chaud (points bleus foncés) de avril 2016 à mars 2026 inclus (mesures manuelles mensuelles, source WebObs/OVSM).

L'échantillonnage des sources chaudes de la Rivière Chaude n'a pas été effectué au mois de mars 2026. Les paramètres physico-chimiques de ces sources sont relativement stables sur les 10 dernières années (voir bulletin d'octobre 2025 de l'OVSM-IPGP).

Sur le long terme (1965 à octobre 2025), les sources chaudes montrent une décroissance similaire à Puits Chaud mais avec une plus grande variabilité due à des variations des points d'échantillonnage de la zone, au gré des éboulements et de l'accessibilité affectant le site.

L'échantillonnage des sources thermales de la haute Rivière Claire n'est pas réalisable à l'heure actuelle car ces sources ne sont pas accessibles de manière sécurisée.

## Phénoménologie

### Zones de végétation dégradée

Une zone de végétation dégradée localisée sur le flanc sud-ouest de la Montagne Pelée entre la haute Rivière Claire et la Rivière Chaude a été identifiée en décembre 2020 (VEG-1). D'après l'analyse d'images satellitaires, cette zone, composée de troncs d'arbres et de fougères sans têtes, défoliés ou abattus, et d'herbes et de buissons jaunies et morts, est apparue à la fin de l'année 2019. Elle est située à proximité des cratères probables des éruptions phréatiques historiques de 1792 et 1851 et à proximité des sources thermominérales de la partie haute de la Rivière Claire. D'autres zones de végétation dégradée ont été identifiées depuis et nommées VEG-2 à VEG-6. Le dépérissement de la végétation peut être un traceur du dégazage passif de CO<sub>2</sub> dans le sol.

Ces zones de végétation dégradée sont suivies visuellement par des survols hélicoptérés avec le soutien de la Sécurité civile. Le dernier survol de la zone VEG-1 en septembre 2025 a montré que cette zone a été significativement re-végétalisée. Néanmoins, il existe toujours des signes disparates de dépérissement de la végétation en périphérie de VEG-1, et sur les autres zones telles que VEG-4 et VEG-6. La persistance de végétation dégradée dans la zone VEG-4 a également été confirmée lors d'une mission au sol le 14 octobre 2025.

Ces zones sont aussi suivies grâce à l'analyse d'images satellitaires. Le NDVI (Normalized Difference Vegetation index / indice de végétation par différence normalisée), calculé ici à partir des images du satellite Sentinel-2 met en valeur la différence entre la bande visible du rouge (R) et celle du proche infrarouge (PIR) suivant la formule :  $NDVI = \frac{PIR - R}{PIR + R}$



=  $(PIR - R)/(PIR + R)$ . Cet indice compris entre 0 et 1 est sensible à la vigueur et à la quantité de végétation. En effet, plus il est élevé et plus l'activité photosynthétique de la végétation est élevée et donc la végétation en bonne santé.

**Au cours du mois de mars 2026, aucune image du satellite Sentinel-2 n'est exploitable pour le calcul de l'indice NDVI, la zone d'intérêt étant couverte de nuages sur chaque image disponible.**

Depuis 2021, avec l'appui hélicoptéré de la Sécurité civile de Martinique (Dragon 972) et du STIS, l'OVSM-IPGP réalise dans les zones de végétation dégradée accessibles (VEG-1, VEG-4, VEG-6) des mesures ponctuelles de la concentration en dioxyde de carbone ( $CO_2$ ) émis passivement par le sol qui ont été où restent très supérieures au niveau de base naturel. C'est ce dégazage passif de  $CO_2$  via le sol qui aurait impacté la végétation. Un état des lieux des émanations de gaz (ou leur absence) sur et autour de la Montagne Pelée est réitéré dès que possible via différentes techniques de mesures in situ et d'analyse en laboratoire, en collaboration avec l'OVSG-IPGP (Guadeloupe) et l'IPGP.

La dernière campagne de mesures de flux de dégazage diffus de  $CO_2$  au niveau du sol, effectuées grâce à une chambre d'accumulation WestSystems, a été réalisée le 14 octobre 2025 sur 9 sites des zones VEG-4 et VEG-6. Les flux de dégazage diffus de  $CO_2$  mesurés lors de cette mission sont compris entre 29.4 et 1056.7  $g/m^2/jour$ . La valeur la plus importante est observée dans la zone VEG-4. Elle confirme la présence d'un dégazage par le sol de  $CO_2$  d'origine magmatique dont les flux sont généralement bien supérieurs aux valeurs caractéristiques des processus biogéniques (ca. 25  $g/m^2/jour$ ). A noter que la valeur maximale de flux de  $CO_2$  mesurée lors de la mission du 14 octobre 2025 dans la zone VEG-4 est nettement supérieure à celle qui avait été mesurée dans la même zone le 18 juillet 2025 (valeur maximale de 477.3  $g/m^2/jour$  - voir le bulletin mensuel de juillet 2025).

Les émissions passives de  $CO_2$  dans l'atmosphère à partir du dégazage passif du sol constituent un phénomène normal du fonctionnement des systèmes volcaniques y compris en dehors de périodes éruptives (Voir par exemple Viveiros et al., 2010; Girault et al., 2022). Le  $CO_2$  d'origine magmatique est très mobile et remonte des zones du système hydrothermal superficiel et des zones plus profondes de stockage des magmas vers la surface via différentes structures, notamment des failles, des cratères, des conduits volcaniques anciens, des zones de perméabilité dans le substratum.

Le suivi dans le temps de ces émissions de  $CO_2$  d'origine magmatique permet de mieux comprendre le fonctionnement des volcans actifs et d'explorer son lien avec d'autres signaux enregistrés par les réseaux multi-paramètres. Dans le cas de la réactivation de la Montagne Pelée observée depuis 2019, l'apparition de ces zones de végétation dégradée, dès novembre 2019, associées à des flux significatifs de  $CO_2$  confirme que la recrudescence de la sismicité volcanique et les faibles déformations enregistrées depuis 2021 pourraient être liées à la remontée de volumes limités de fluides hydrothermaux et magmatiques (gaz, eaux hydrothermales) dans l'édifice volcanique depuis les profondeurs du système magmatique. En créant de la fracturation et de la porosité connectée dans le substratum, la sismicité profonde et superficielle facilite la remontée du  $CO_2$  vers la surface.

### Émission sous-marine de bulles de gaz

Une zone d'émission de bulles de gaz de  $CO_2$  d'origine magmatique à partir du fond marin est observée au nord de Saint-Pierre, au niveau de l'embouchure de la rivière des Pères, à moins de 11 m de profondeur. Selon plusieurs témoignages, ce dégazage diffus pourrait exister depuis plusieurs décennies dans cette zone. Sa surveillance quantitative peut servir d'indicateur sur l'évolution de la réactivation en cours à la Montagne Pelée. L'OVSM-IPGP a donc mis en place une collaboration avec le Parc Naturel Marin de Martinique (PNMM) et l'Office Français de la Biodiversité en Martinique (OFB) pour effectuer des mesures périodiques (pH, température, débit maximum et superficie de la zone) et des prélèvements de gaz pour analyse chimique. Ce type d'émission de gaz est habituel aux alentours des zones volcaniques actives ou au repos, par exemple en Dominique (Soufrière et Champagne), en Italie (sites de Panarea, Vulcano, Baie de Pozzuoli) et en Grèce (Santorin).

Les émissions sous-marines gazeuses de  $CO_2$  d'origine magmatique du site de Périnelle à Saint-Pierre n'ont pas été échantillonnées au cours du mois de mars 2026.



### Activité fumerolienne

Au cours du mois de mars 2026, il n'a pas été observé d'activité fumerolienne sur les flancs ou au sommet de la Montagne Pelée.

### Glissements de terrain et lahars

#### Lahars dans la Rivière du Prêcheur

Suite aux effondrements de pans de parois de la falaise Samperre survenus début septembre 2025 et à la grande quantité de matériaux déposés dans la haute vallée Samperre, plusieurs lahars se sont produits dans la rivière du Prêcheur.

Au cours du mois de mars 2026, aucun lahar ou écoulement concentré n'a été enregistré dans la rivière du Prêcheur par le système de détection automatique opéré par l'OVSM-IPGP.

Des matériaux sont encore présents dans la rivière Samperre et la rivière du Prêcheur, de nouveaux effondrements peuvent survenir à tout moment au niveau de la falaise Samperre et des berges de la Rivière du Prêcheur, et conduire à de nouvelles coulées de boue, en particulier lors d'épisodes de fortes pluies.



## B) Activité sismique régionale

L'arc insulaire des Petites Antilles résulte du plongement des plaques Nord-Américaine (NAM) et Sud-Américaine (SAM) sous la plaque Caraïbe. Cette subduction active dont la vitesse de convergence est de 2 cm par an produit une déformation aux frontières de ces plaques, faisant de notre archipel une région à forts aléas volcanique et sismique. Certains séismes sont directement liés aux processus de glissement entre les deux plaques, et sont appelés séismes inter-plaques. D'autres, plus superficiels, résultent de la déformation de la plaque Caraïbe au niveau de l'arc volcanique des Petites Antilles (séismes intra-plaque) ou de la déformation des plaques NAM et SAM avant leur arrivée dans la zone de subduction (séismes « outer-rise »). D'autres résultent de la rupture en profondeur des plaques NAM et SAM après leur plongement sous la plaque Caraïbe (séismes de profondeur intermédiaire).

Depuis deux siècles, plusieurs séismes d'intensités supérieures ou égales à VII ont causé des dommages en Martinique en 1827, 1839, 1843, 1906, 1946, 1953 et 2007.

Au cours du mois de mars 2026, aucun séisme n'a été signalé ressenti en Martinique.

Les séismes ne sont pas prévisibles et peuvent survenir à n'importe quel moment en Martinique. Les actions de prévention du risque restent de rigueur : respect des réglementations parasismiques en vigueur, aménagement intérieur des lieux de vie, apprentissage du comportement à tenir avant, pendant et après un séisme.

### Sismicité régionale

L'OVSM-IPGP a enregistré au cours du mois de mars 2026 un total de **145 séismes régionaux d'origine tectonique** dont **117 ont pu être localisés** et entrent dans le cadre de la Figure 9, les autres étant plus lointains ou de trop faible magnitude.

Ce mois-ci, aucun séisme n'a été signalé ressenti en Martinique.

La localisation des grands séismes historiques survenus aux Petites Antilles est rappelée à la Figure 11.

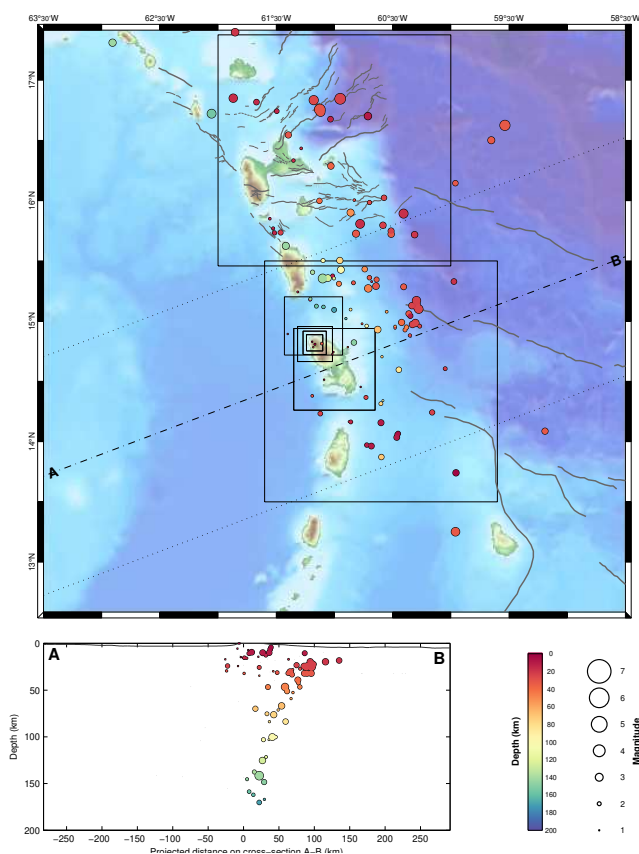


Figure 9 – Partie supérieure : carte des hypocentres des séismes enregistrés et localisés par l'OVSM-IPGP au cours du mois de mars 2026 sur l'arc antillais. La présence d'une étoile indique un séisme ressenti. Partie inférieure : représentation des séismes en profondeur le long du profil A-B et situés dans la zone comprises entre les deux lignes en pointillé (source WebObs/OVSM).

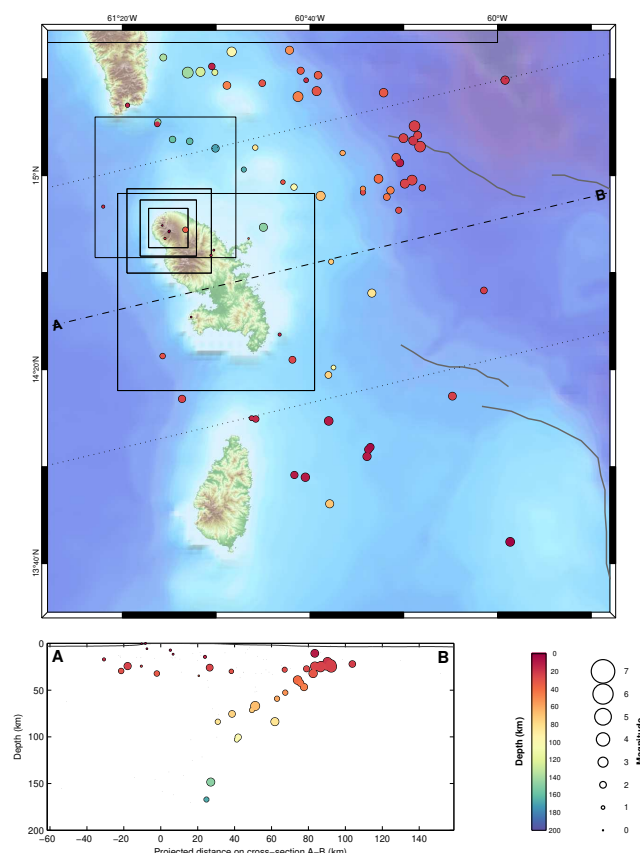
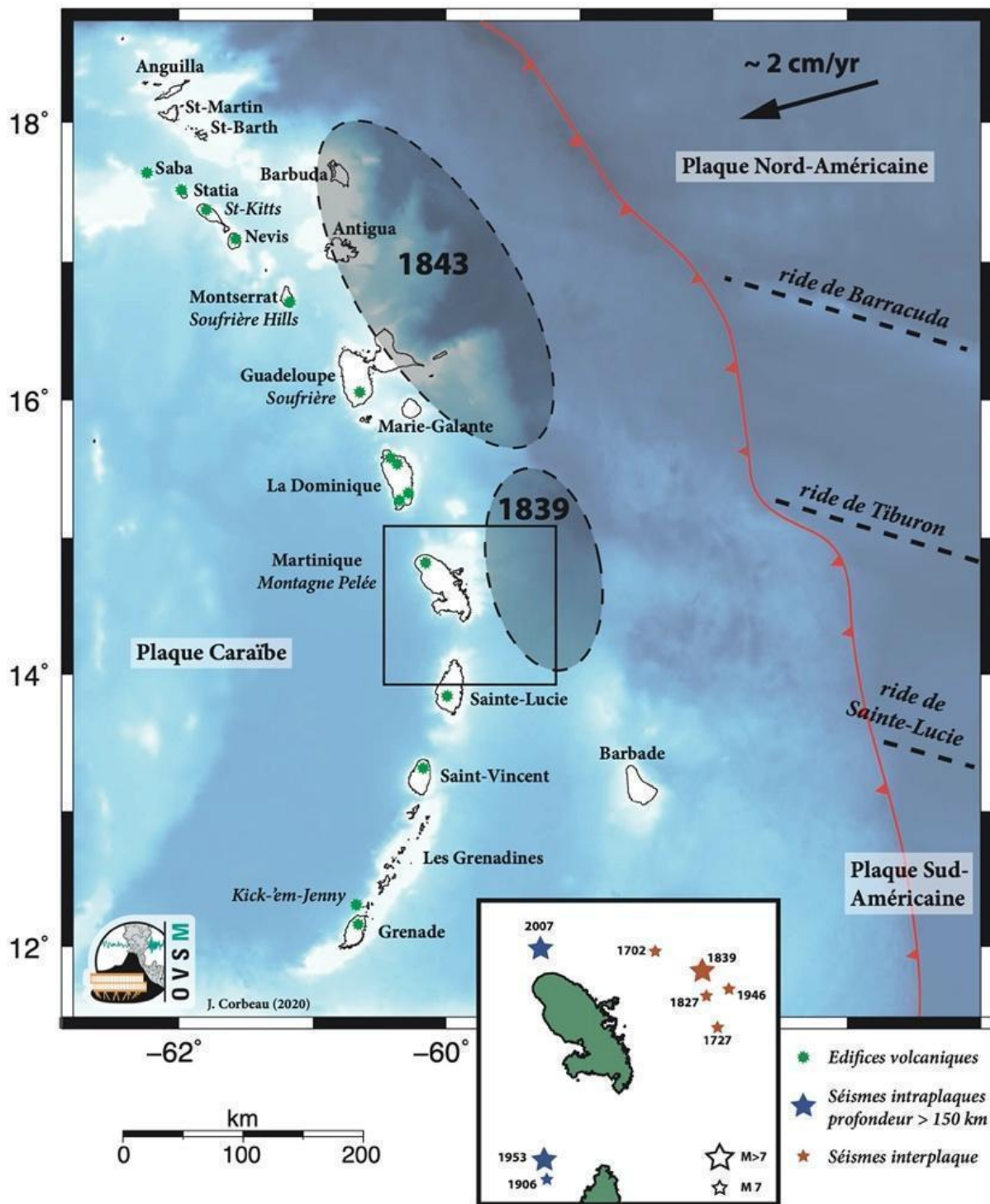


Figure 10 – Partie supérieure : carte des hypocentres des séismes enregistrés et localisés par l'OVSM-IPGP au cours du mois de mars 2026 autour de la Martinique. La présence d'une étoile indique un séisme ressenti. Partie inférieure : représentation des séismes en profondeur le long du profil A-B et situés dans la zone comprises entre les deux lignes en pointillé (source WebObs/OVSM).





## C) Annexes

### Définition simplifiée des niveaux d'activité volcanique pour la Montagne Pelée

<b>Activité globale observée</b>	<b>Minimale</b> niveau de base	<b>Inhabituelle / En augmentation</b> variations de quelques paramètres au dessus de leur niveau de base	<b>Fortement augmentée</b> variations de nombreux paramètres, sismicité fréquemment ressentie	<b>Maximale</b> sismicité volcanique intense, déformations majeures, explosions, émissions gazeuses, ...
<b>Délai prévisionnel avant une éruption</b>	<b>Siècle(s) / Années</b>	<b>Année(s) / Mois / Semaines</b>	<b>Mois / Semaine(s)</b>	<b>Imminente / En cours</b>
<b>Niveaux de surveillance et d'alerte</b>	<b>VERT = référence</b>	<b>JAUNE = vigilance</b>	<b>ORANGE = Pré-alerte</b>	<b>ROUGE = Alerte</b>

Les niveaux d'alerte sont définis par le dispositif ORSEC Préfecture et leur application relève d'une décision préfectorale.

### Définition simplifiée de l'échelle des intensités macrosismiques

<b>Perception Humaine</b>	non ressenti	très faible	faible	légère	modérée	forte	très forte	sévère	violente	extrême
<b>Dégâts Potentiels</b>	aucun	aucun	aucun	aucun	très légers	légers	modérés	importants	destructions	généralisés
<b>Intensités EMS98</b>	<b>I</b>	<b>II</b>	<b>III</b>	<b>IV</b>	<b>V</b>	<b>VI</b>	<b>VII</b>	<b>VIII</b>	<b>IX</b>	<b>X+</b>

Les intensités sont définies par l'échelle macrosismique européenne EMS98 et leur attribution relève d'une enquête post-sismique du BCSF.

### Appel à témoignages sur les séismes ressentis

Vos témoignages nous intéressent et permettront aux ingénieurs et sismologues de mieux tenir compte des spécificités locales dans la mitigation du risque sismique en Martinique. Les intensités réelles (sévérité de la secousse au sol en un lieu donné qui est déduite des effets d'un séisme) ne peuvent être correctement déterminées que par recueil de témoignages. Si vous avez ressenti un séisme, même faiblement, vous êtes invité à le signaler à l'observatoire et/ou à prendre quelques minutes pour remplir le formulaire d'enquête macrosismique du BCSF (Bureau Central Sismologique Français) sur le site [www.franceseisme.fr](http://www.franceseisme.fr).

### Volcans régionaux actifs

**La Soufrière de Guadeloupe** : La dernière crise volcanique remonte à 1976-1977. Le niveau d'alerte volcanique actuel est **jaune**. Plus d'informations dans les bulletins de l'OVSG : [ipgp.fr/fr/ovsg/bulletins-mensuels-de-lovsg](http://ipgp.fr/fr/ovsg/bulletins-mensuels-de-lovsg).

**La Soufrière de Montserrat** : L'île de Montserrat est située à 55 km au nord-ouest de la Guadeloupe. Le niveau d'alerte actuel du volcan est 1 sur une échelle de 0 à 5. L'accès à la zone V du volcan, comprenant la ville de Plymouth, est interdit. Les zones maritimes Est et Ouest peuvent être traversées, mais sans s'arrêter et uniquement pendant la journée, entre l'aube et le coucher du soleil. Plus d'informations sur le site du Montserrat Volcano Observatory (MVO) : [www.mvo.ms/pub/Activity\\_Reports](http://www.mvo.ms/pub/Activity_Reports).

**La Soufrière de Saint-Vincent** : Ce volcan est situé à une distance de 120 km au sud de la Martinique sur l'île de Saint-Vincent, dans l'État de Saint-Vincent-et-les-Grenadines. Une éruption de type effusif avec formation d'un dôme de lave s'est produite du 29 décembre 2020 au 9 avril 2021, suivie d'une activité explosive qui s'est terminée le 22 avril 2021. Le niveau d'alerte est abaissé à orange le 7 mai 2021, puis à jaune le 15 septembre 2021 et enfin à **vert** le 16 mars 2022 jusqu'à aujourd'hui. Notez que l'échelle de couleurs utilisée pour ce volcan a été réalisée pour des éruptions explosives. Plus d'informations sur le site du National Emergency Management Organisation (NEMO) de Saint-Vincent-et-les-Grenadines [www.nemo.gov.vc/nemo](http://www.nemo.gov.vc/nemo) et du Seismic Research Center (SRC) : [www.uwiseismic.com](http://www.uwiseismic.com).



**Kick'em Jenny** : C'est un volcan sous-marin situé à 8 km au nord de Grenade. La dernière éruption sous-marine s'est produite le 29 avril 2017. Le niveau de vigilance actuel est **jaune** (deuxième niveau sur une échelle de couleurs en comportant quatre). Une zone d'exclusion de 5 km autour du sommet (180 m sous la surface de la mer) est conseillée par sécurité. Plus d'informations sur le site du Seismic Research Center (SRC) : [www.uwiseismic.com](http://www.uwiseismic.com).

La direction de l'OVSM-IPGP  
17 avril 2026

---

## Références

- Boudon, G., Balcone-Boissard, H., 2021. Volcanological evolution of Montagne Pelée (Martinique) : A textbook case of alternating plinian and dome-forming eruptions. *Earth-Sci. Rev.* 221, 103754, doi :[10.1016/j.earscirev.2021.103754](https://doi.org/10.1016/j.earscirev.2021.103754)
- Feuillet, N., Beauducel, F., Tapponnier, P., 2011. Tectonic context of moderate to large historical earthquakes in the Lesser Antilles and mechanical coupling with volcanoes. *J. Geophys. Res.*, 116, B10308, doi :[10.1029/2011JB008443](https://doi.org/10.1029/2011JB008443).
- Girault, F., Viveiros, F., Silva, C., Thapa, S., Pacheco, J.E., Adhikarai, L.B., Bhattarai, M., Koirala, B.P., Agrinier, P., France-Lanord, C., Zaon, V., Vandemeulebrouck, J., Byrdina, S., Perrier, F., 2022. Radon signature of CO<sub>2</sub> flux constrains the depth of degassing : Furnas volcano (Azores, Portugal) versus Syabru-bensi (Nepal Himalayas). *Scientific Reports*, 12 :10837, doi :[10.1038/s41598-022-14653-5](https://doi.org/10.1038/s41598-022-14653-5)
- Hirn, A., Girardin, N., Viodé, J. P., and Eschenbrenner, S., 1987. Shallow seismicity at Montagne Pelée volcano, Martinique, Lesser Antilles. *Bulletin of volcanology*, 49(6), 723-728.
- Viveiros, F., C. Cardellini, T. Ferreira, S. Caliro, G. Chiodini, and C. Silva, 2010. Soil CO<sub>2</sub> emissions at Furnas volcano, São Miguel Island, Azores archipelago : Volcano monitoring perspectives, geomorphologic studies, and land use planning application, *J. Geophys. Res.*, 115, B12208, doi :[10.1029/2010JB007555](https://doi.org/10.1029/2010JB007555)
- WebObs : An integrated web-based system for observatories networks management and monitoring, *Logiciel libre labellisé Code Communautaire, INSU-CNRS*, [ipgp.github.io/webobs](https://ipgp.github.io/webobs)

## Remerciements

Merci aux organismes, collectivités et associations d'afficher publiquement ce bulletin pour une diffusion la plus large possible. Pour le recevoir par mail, faites une demande à : [infos@ovmp.martinique.univ-ag.fr](mailto:infos@ovmp.martinique.univ-ag.fr).

## Informations

Retrouvez l'ensemble des informations relatives à l'activité de la Montagne Pelée (bilans hebdomadaires, bulletins mensuels et communiqués) sur les différents médias de l'OVSM-IPGP :

- le site internet : [www.ipgp.fr/fr/ovsm/bilans](http://www.ipgp.fr/fr/ovsm/bilans)
- le compte Bluesky : [ovsm.bsky.social](https://bsky.app/profile/ovsm.bsky.social)
- le compte Facebook : [facebook.com/ObservatoireVolcanoSismoMartinique](https://www.facebook.com/ObservatoireVolcanoSismoMartinique)
- les localisations des séismes d'origine volcanique ou tectonique calculées par l'OVSM-IPGP sont disponibles en temps réel sur le site : <https://renass.unistra.fr/fr/zones/les-antilles>
- des données produites par l'Observatoire volcanologique et sismologique de Martinique (OVSM-IPGP) sont disponibles à : <http://volobsis.ipgp.fr/ovsm/> et à <https://dataverse.ipgp.fr/dataverse/OVSM>

**Les informations de ce document ne peuvent être utilisées sans y faire explicitement référence.**